

Annexe I

Images de microscopie de fluorescence pour la visualisation du cytosquelette cellulaire:

JOUR 1

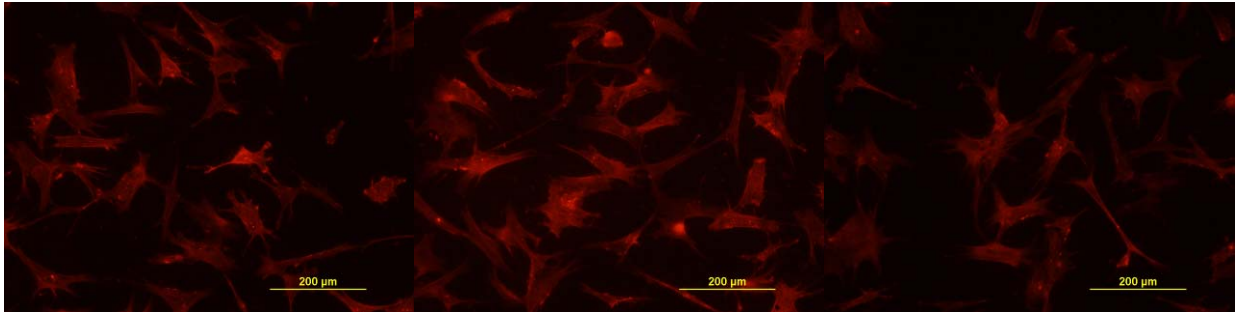


Fig. 1. Images de microscopie en fluorescence après le marquage phalloïdine, BSA 1 j 10X

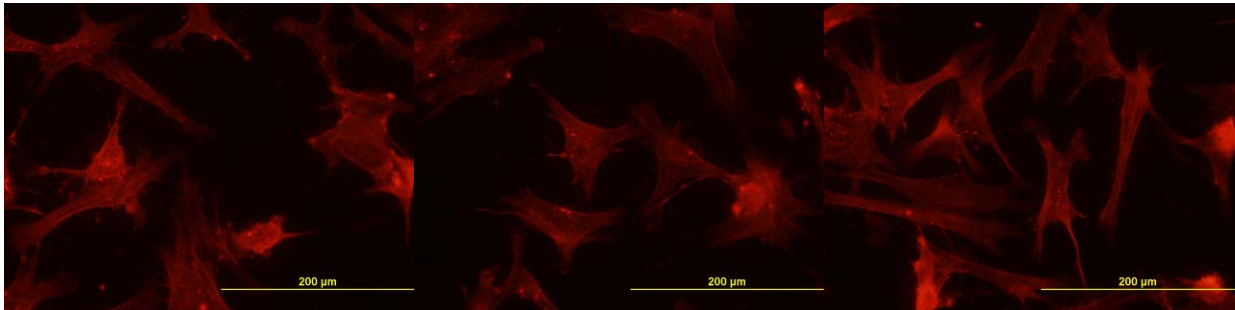


Fig. 2. Images de microscopie en fluorescence après le marquage phalloïdine, BSA 1 j 20X

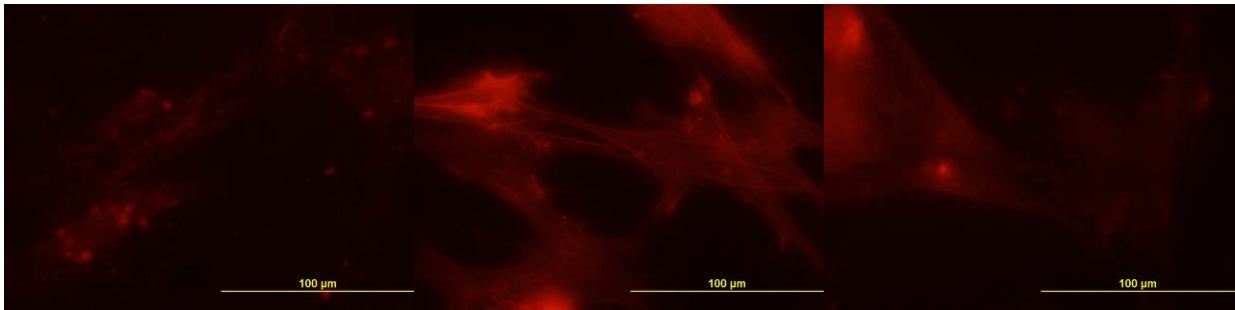


Fig. 3. Images de microscopie en fluorescence après le marquage phalloïdine, BSA 1 j 40X

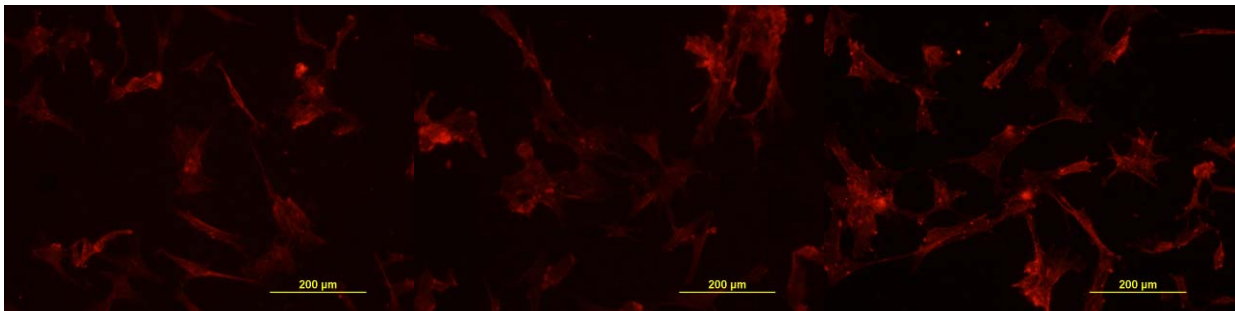


Fig. 4. Images de microscopie en fluorescence après le marquage phalloïdine, FN 1 j 10X

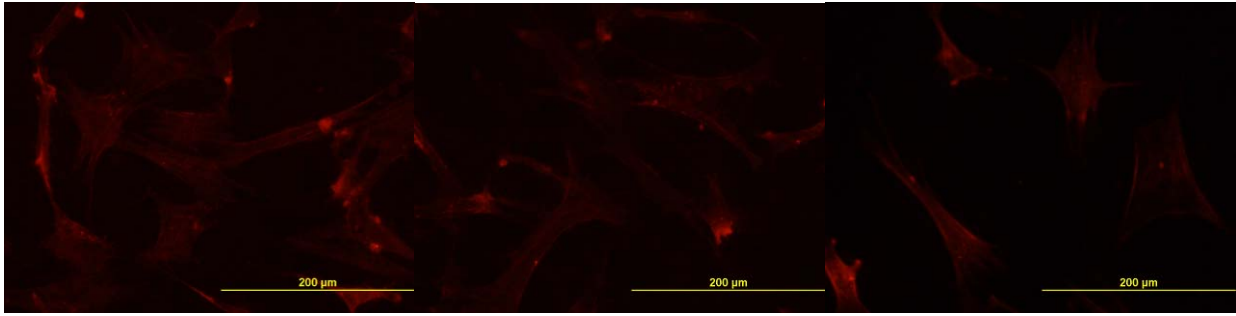


Fig. 5. Images de microscopie en fluorescence après le marquage phalloidine, FN 1 j 20X

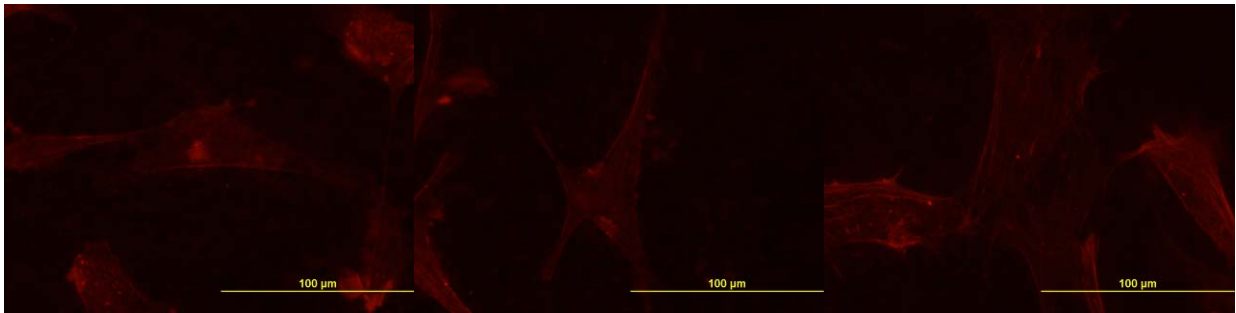


Fig. 6. Images de microscopie en fluorescence après le marquage phalloidine, FN 1 j 40X

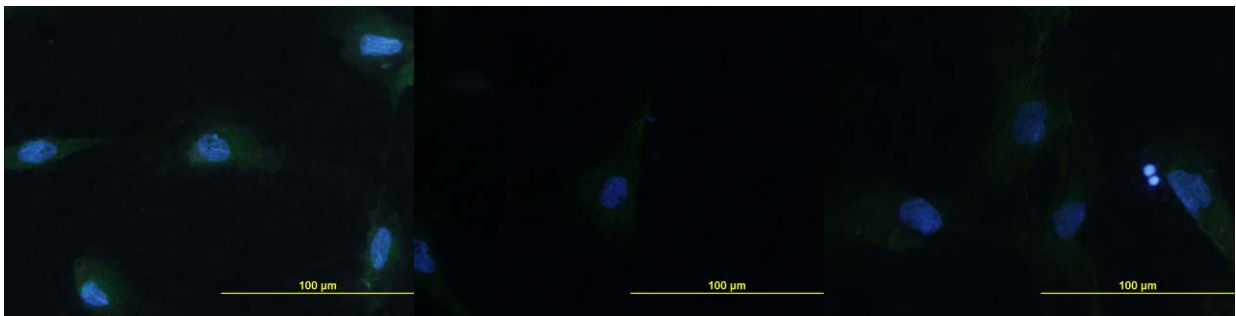


Fig. 7. Images de microscopie en fluorescence après le marquage DAPI, FN 1 j 40X

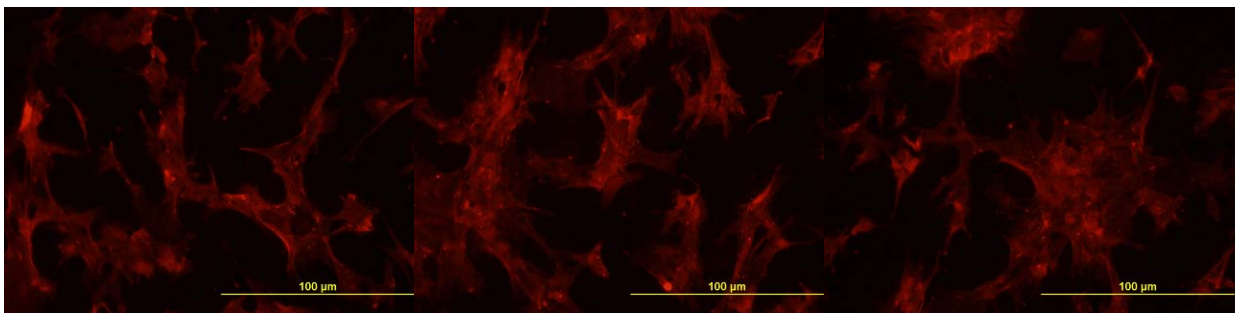


Fig. 8. Images de microscopie en fluorescence après le marquage phalloidine, VN 1 j 10X

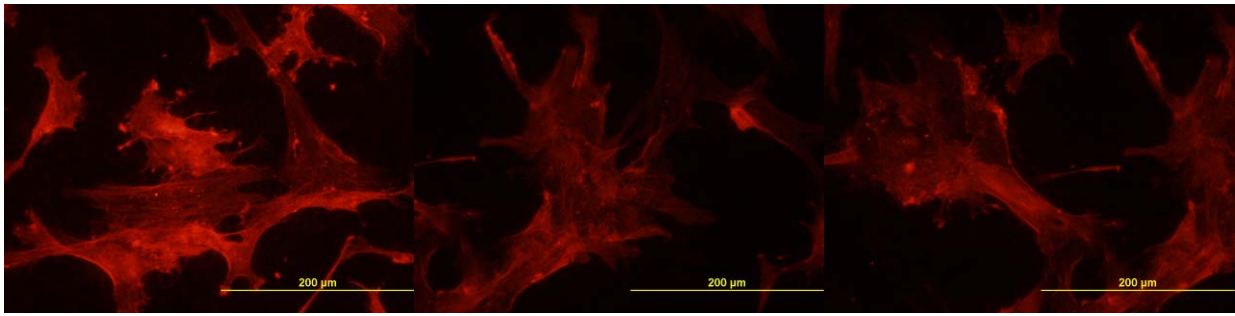


Fig. 9. Images de microscopie en fluorescence après le marquage phalloidine, VN 1 j 20X

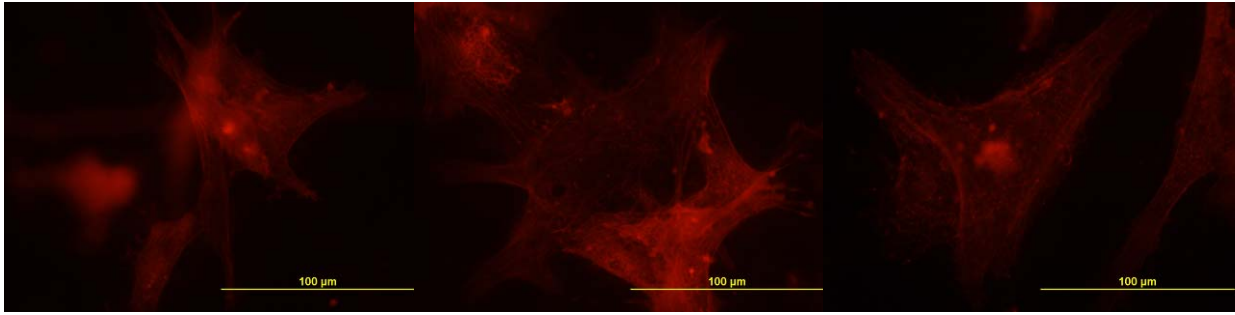


Fig. 10. Images de microscopie en fluorescence après le marquage phalloidine, VN 1 j 40X

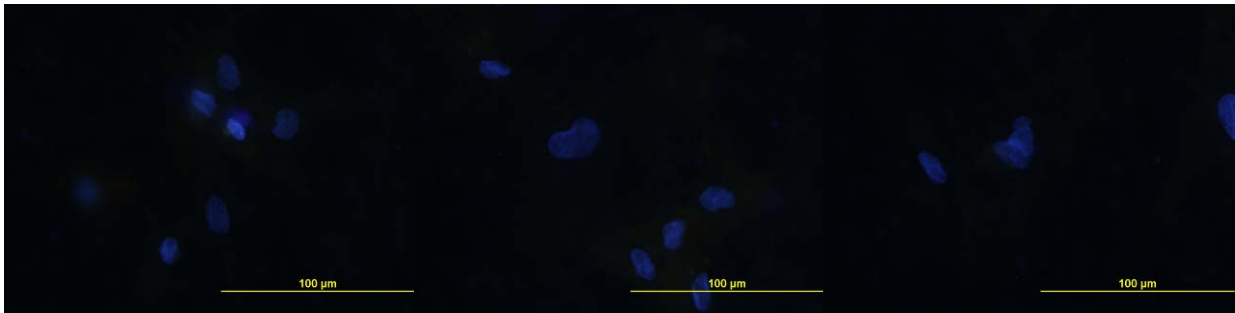


Fig. 11. Images de microscopie en fluorescence après le marquage DAPI, VN 1 j 40X

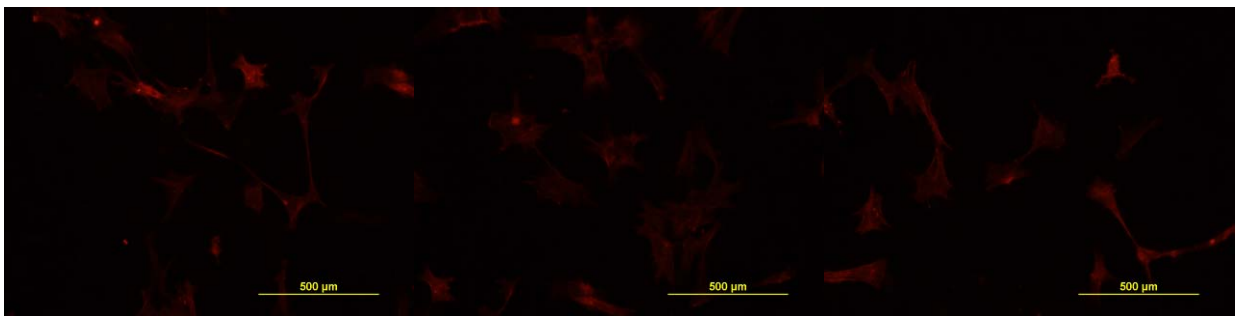


Fig. 12. Images de microscopie en fluorescence après le marquage phalloidine, HA 1 j 10X

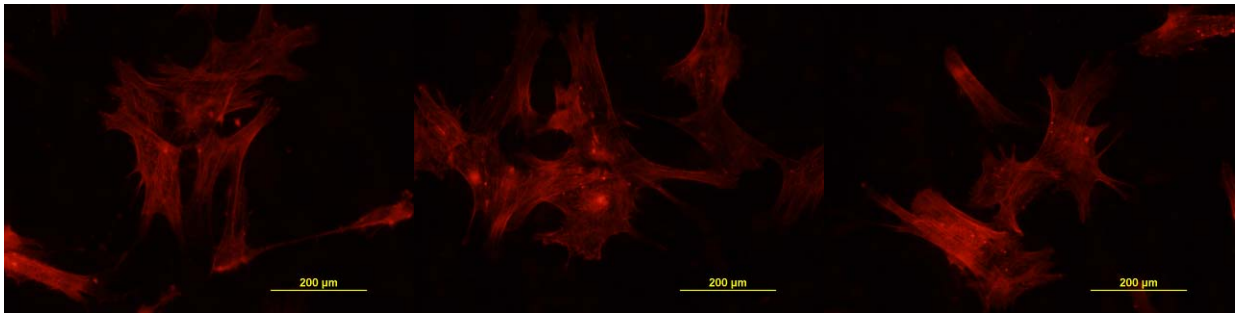


Fig. 13. Images de microscopie en fluorescence après le marquage phalloïdine, HA 1 j 20X

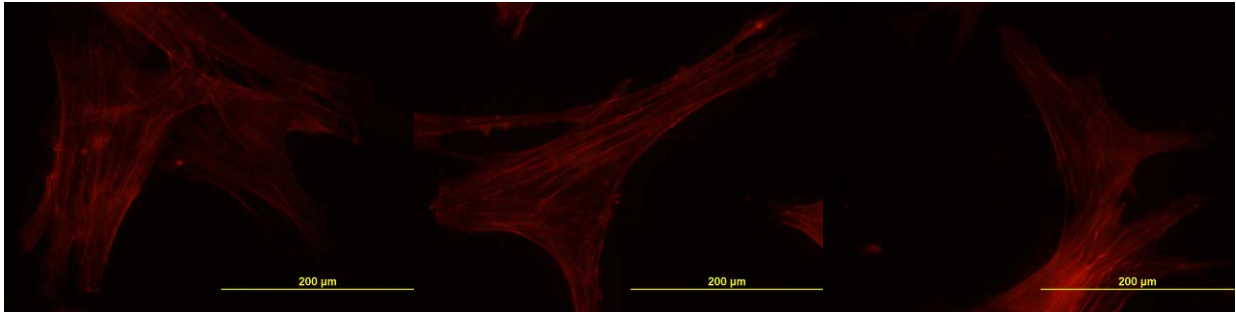


Fig. 14. Images de microscopie en fluorescence après le marquage phalloïdine, HA 1 j 40X

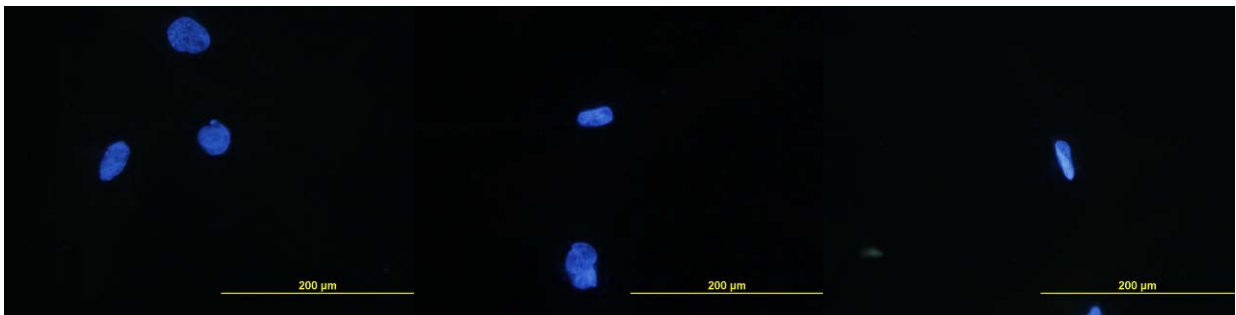


Fig. 15. Images de microscopie en fluorescence après le marquage DAPI, HA 1 j 40X

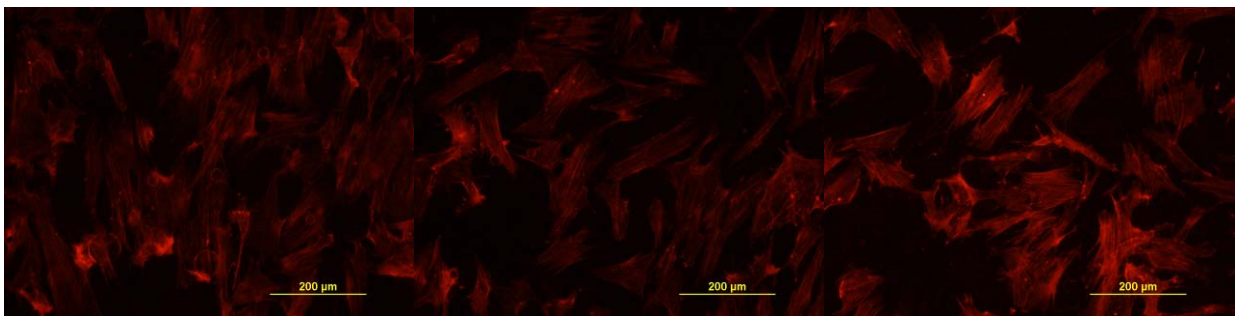


Fig. 16. Images de microscopie en fluorescence après le marquage phalloïdine, Ti 1 j 10X

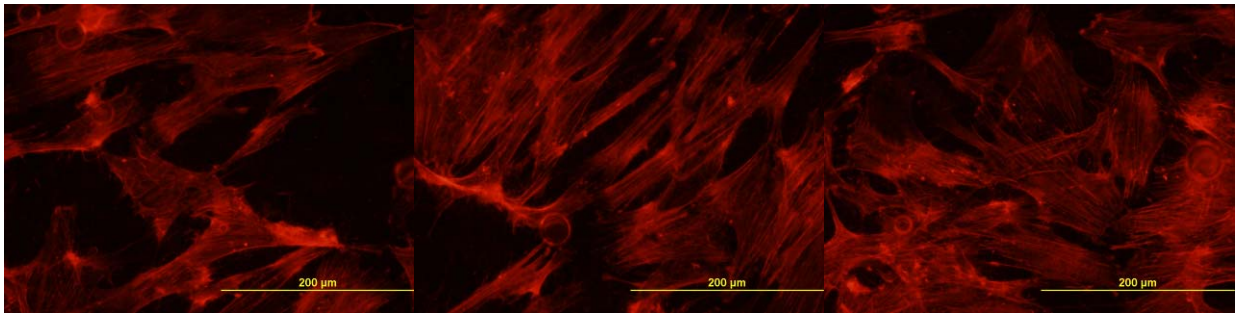


Fig. 17. Images de microscopie en fluorescence après le marquage phalloidine, Ti 1 j 20X

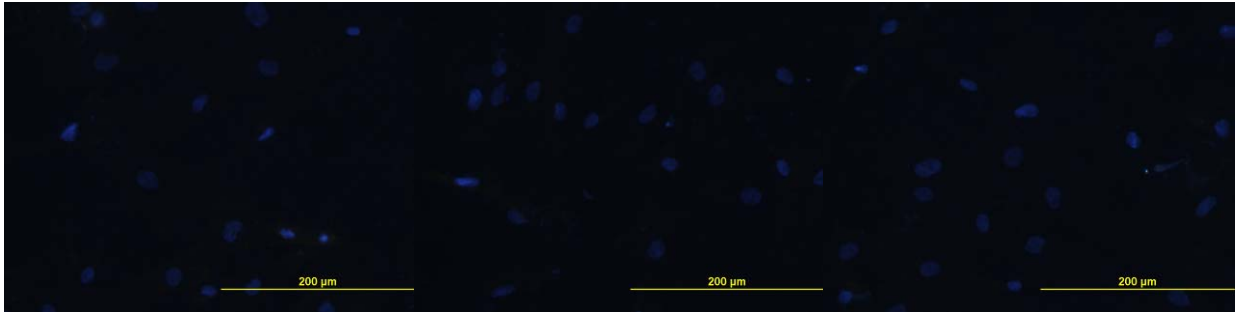


Fig. 18. Images de microscopie en fluorescence après le marquage DAPI, Ti 1 j 20X

JOUR 3

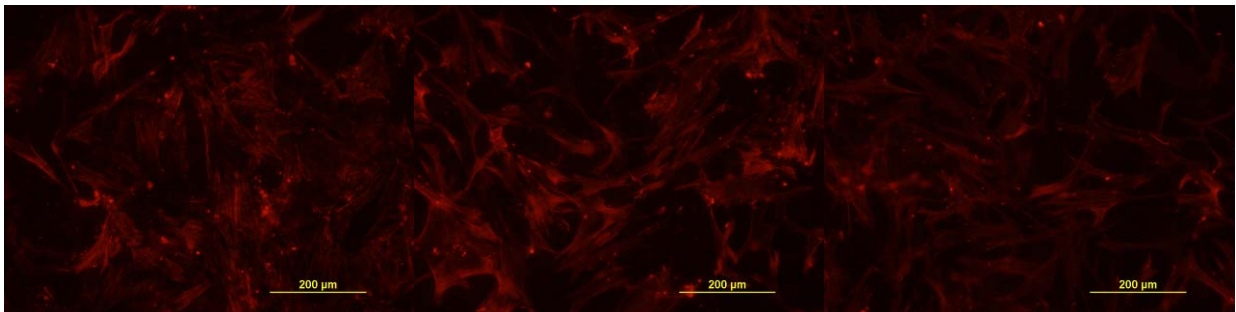


Fig. 19. Images de microscopie en fluorescence après le marquage phalloidine, BSA 3 j 10X

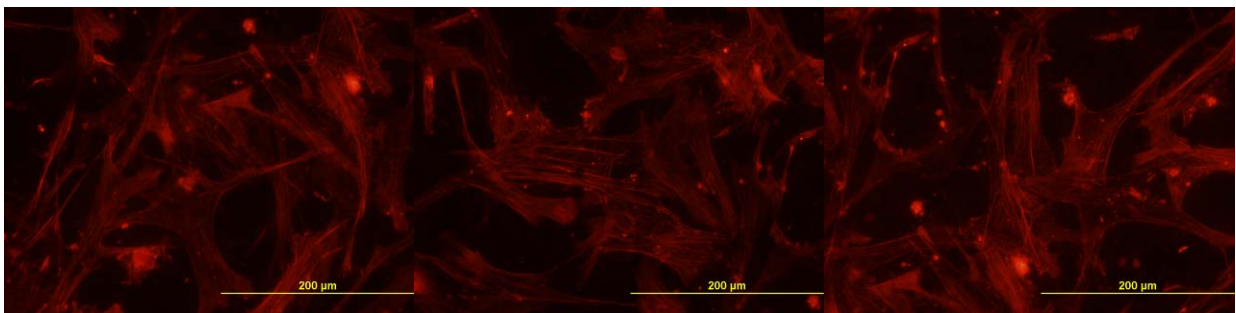


Fig. 20. Images de microscopie en fluorescence après le marquage phalloidine, BSA 3 j 20X

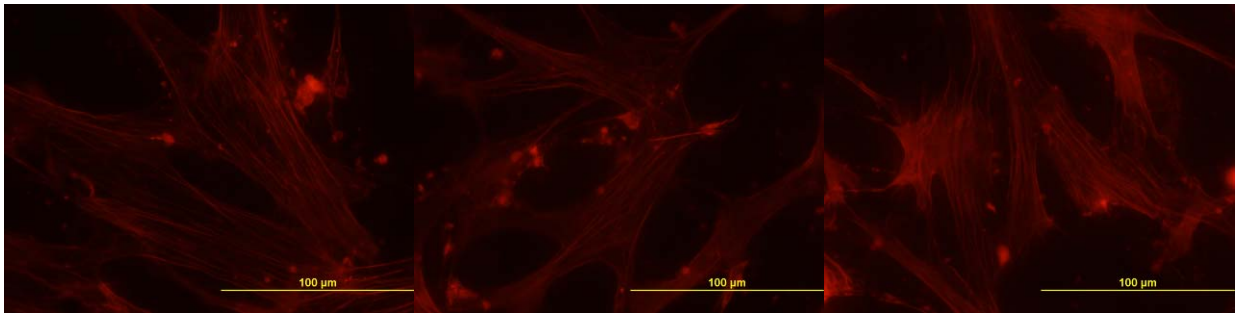


Fig. 21. Images de microscopie en fluorescence après le marquage phalloïdine, BSA 3 j 40X

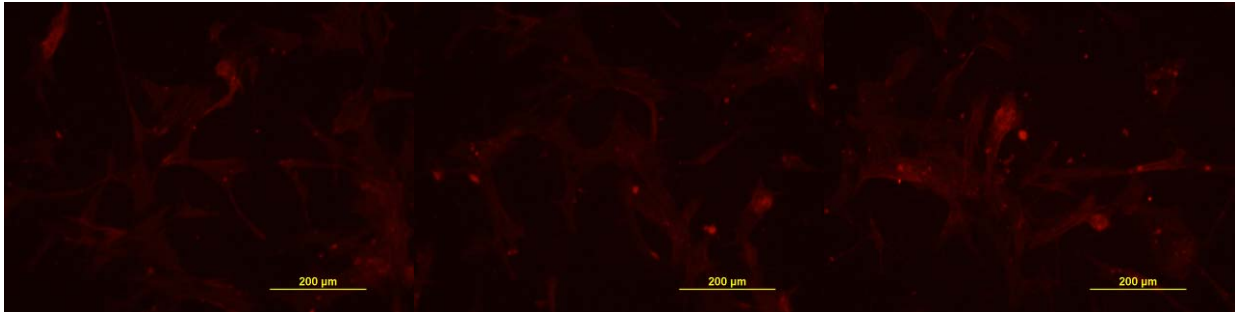


Fig. 22. Images de microscopie en fluorescence après le marquage phalloïdine, FN 3 j 10X

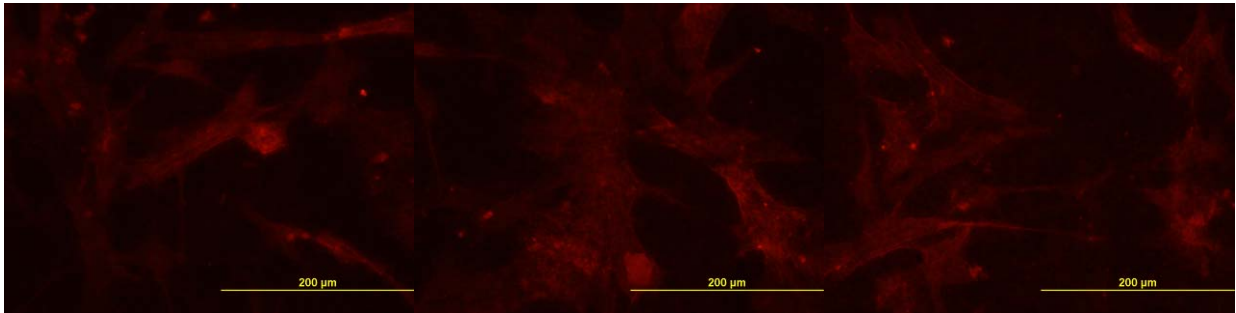


Fig. 23. Images de microscopie en fluorescence après le marquage phalloïdine, FN 3 j 20X

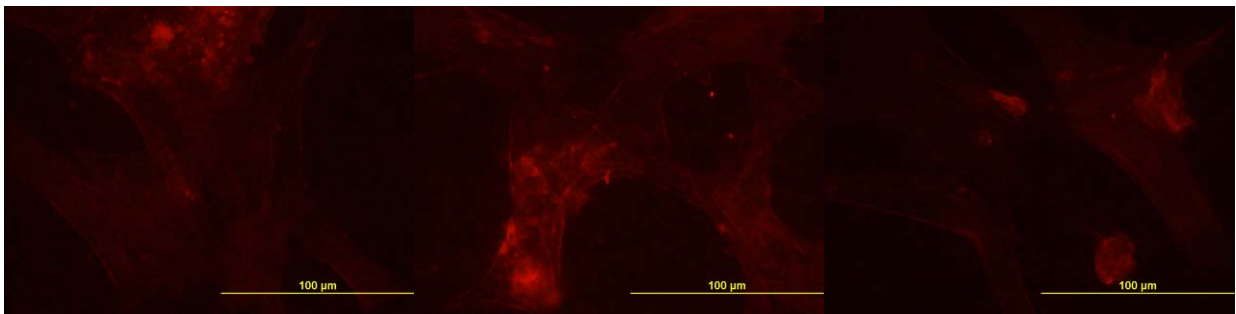


Fig. 24. Images de microscopie en fluorescence après le marquage phalloïdine, FN 3 j 40X

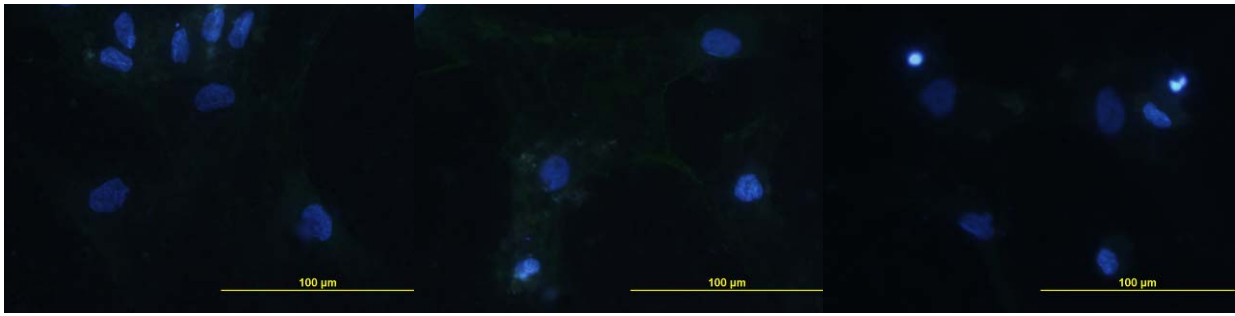


Fig. 25. Images de microscopie en fluorescence après le marquage DAPI, FN 3 j 40X

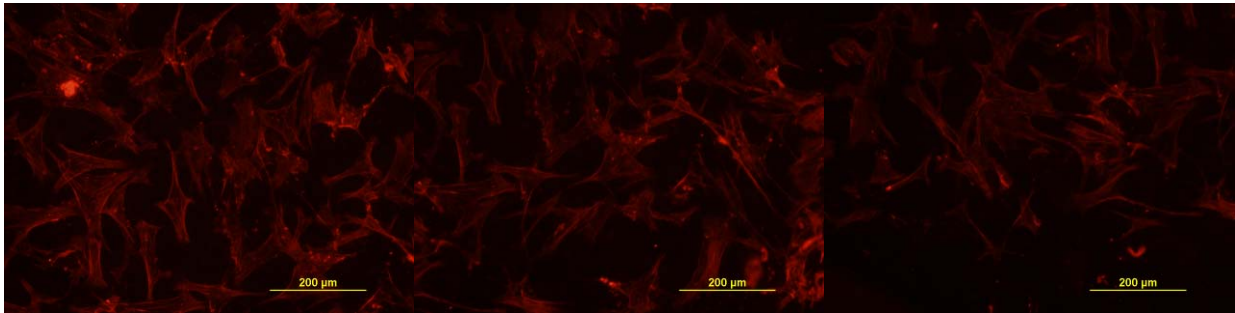


Fig. 26. Images de microscopie en fluorescence après le marquage phalloidine, VN 3 j 10X

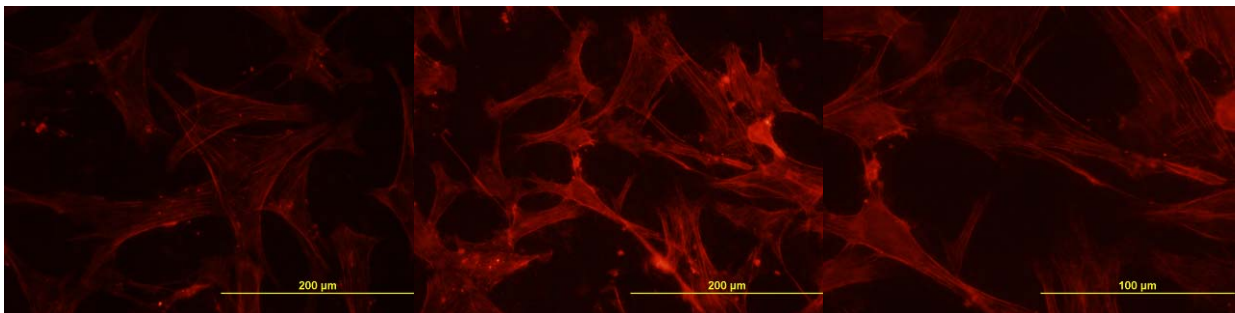


Fig. 27. Images de microscopie en fluorescence après le marquage phalloidine, VN 3 j 20X

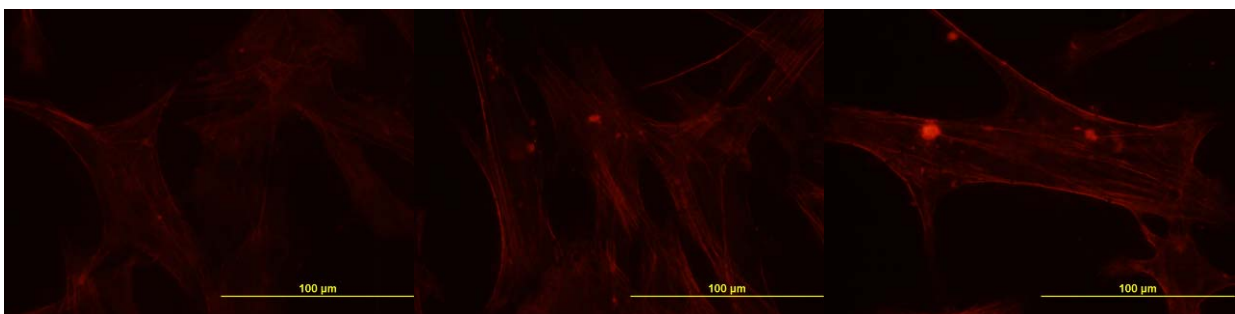


Fig. 28. Images de microscopie en fluorescence après le marquage phalloidine, VN 3 j 40X

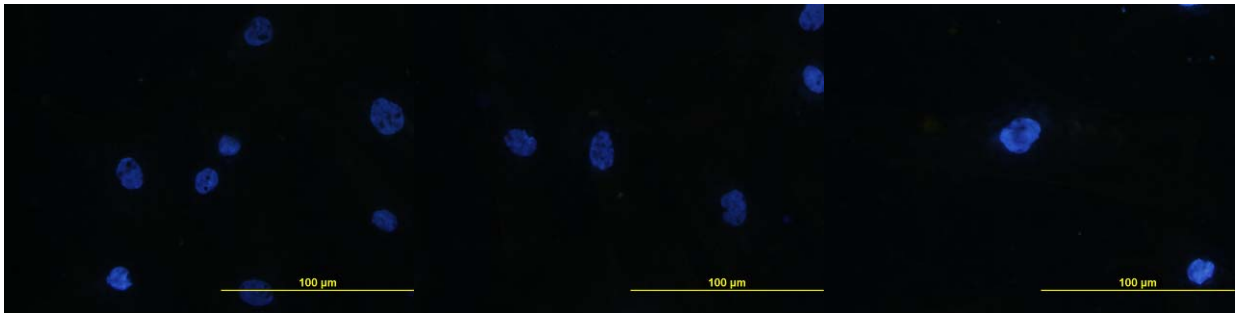


Fig. 29. Images de microscopie en fluorescence après le marquage DAPI, VN 3 j 40X

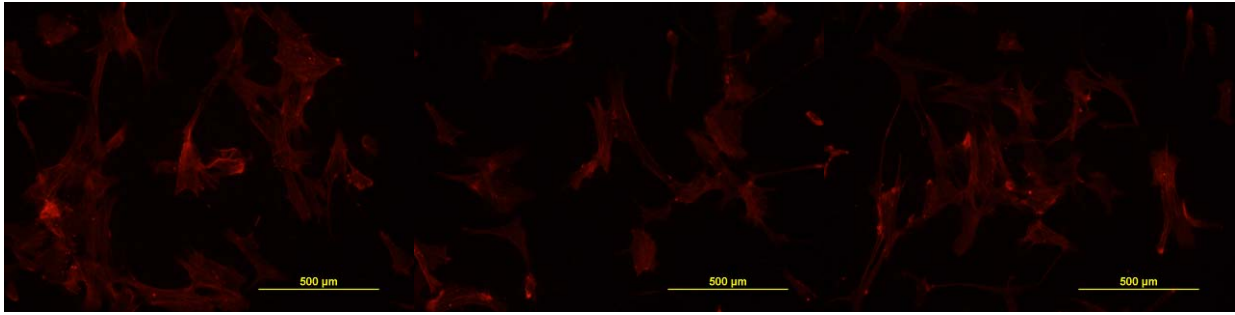


Fig. 30. Images de microscopie en fluorescence après le marquage phalloidine, HA 3 j 10X

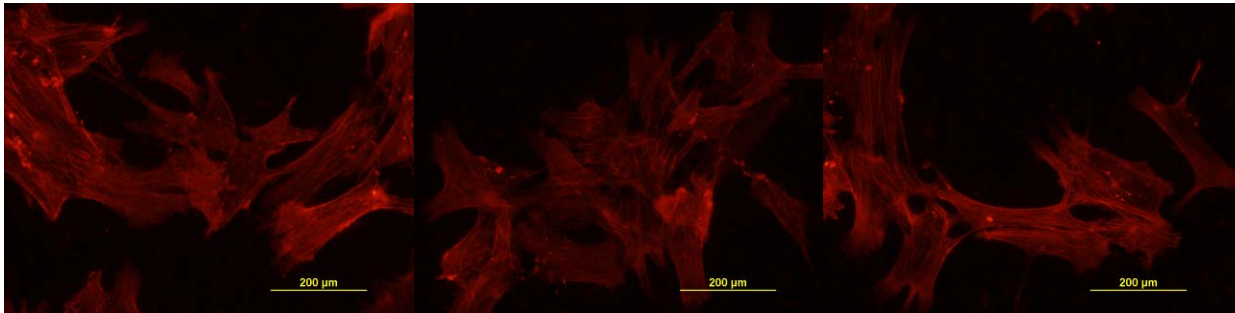


Fig. 31. Images de microscopie en fluorescence après le marquage phalloidine, HA 3 j 20X

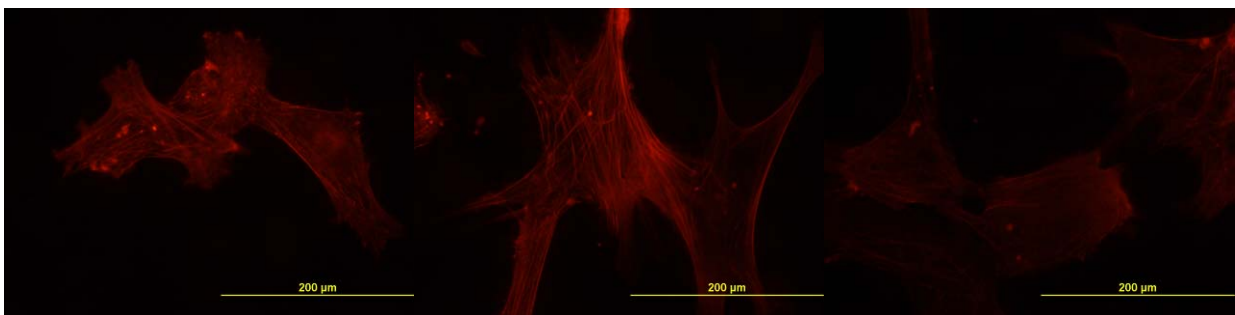


Fig. 32. Images de microscopie en fluorescence après le marquage phalloidine, HA 3 j 40X



Fig. 33. Images de microscopie en fluorescence après le marquage DAPI, HA 3 j 40X

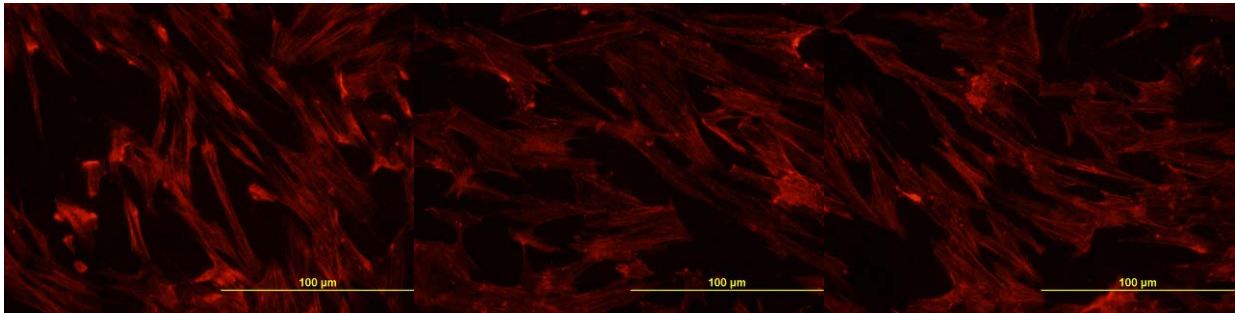


Fig. 34. Images de microscopie en fluorescence après le marquage phalloidine, Ti 3 j 10X

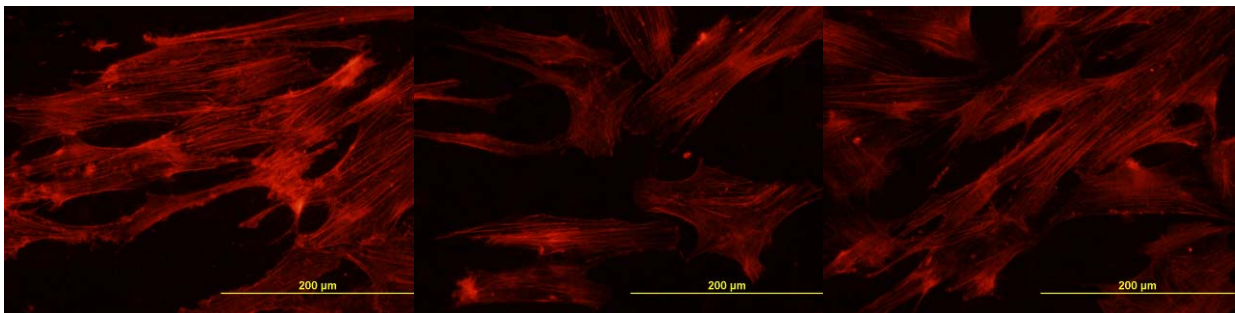


Fig. 35. Images de microscopie en fluorescence après le marquage phalloidine, Ti 3 j 20X

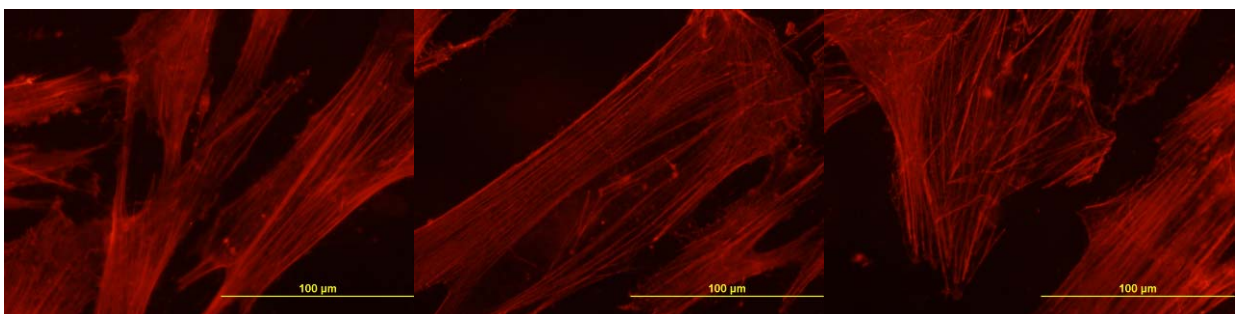


Fig. 36. Images de microscopie en fluorescence après le marquage phalloidine, Ti 3 j 40X

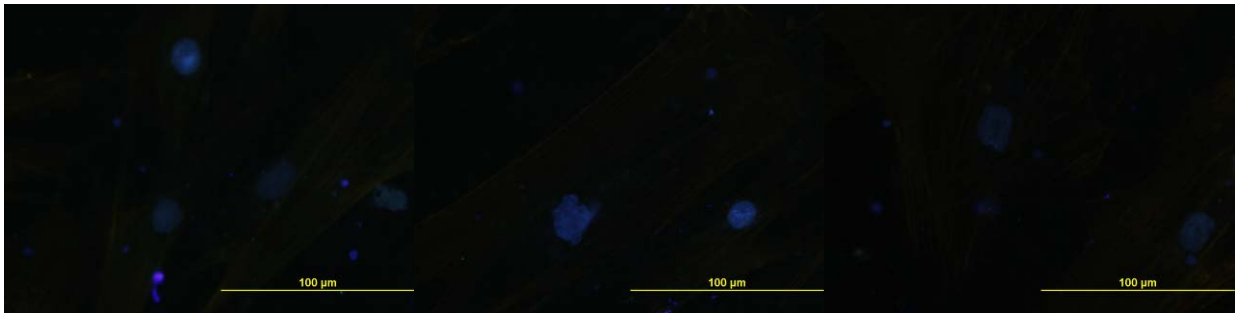


Fig. 37. Images de microscopie en fluorescence après le marquage DAPI, Ti 3 j 40X

JOUR 7

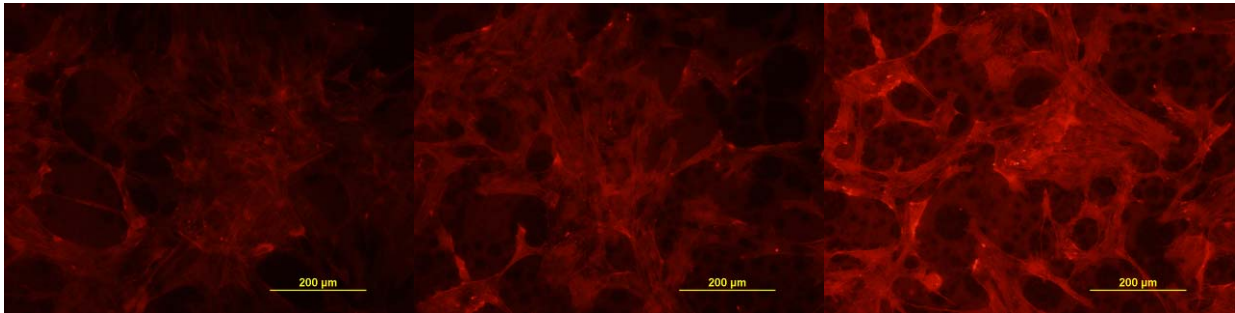


Fig. 38. Images de microscopie en fluorescence après le marquage phalloidine, BSA 7 j 10X

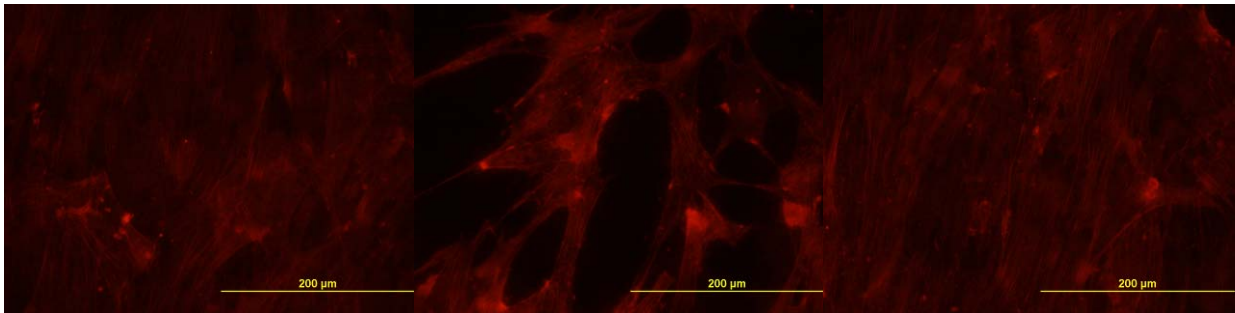


Fig. 39. Images de microscopie en fluorescence après le marquage phalloidine, BSA 7 j 20X

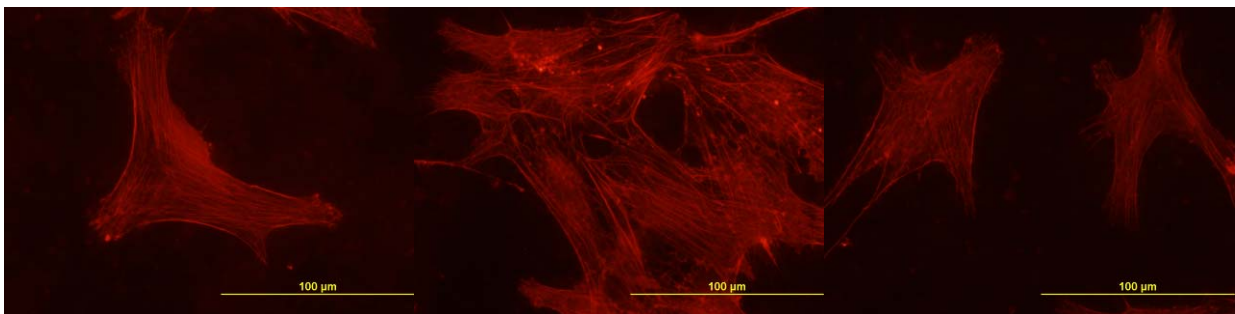


Fig. 40. Images de microscopie en fluorescence après le marquage phalloidine, BSA 7 j 40X

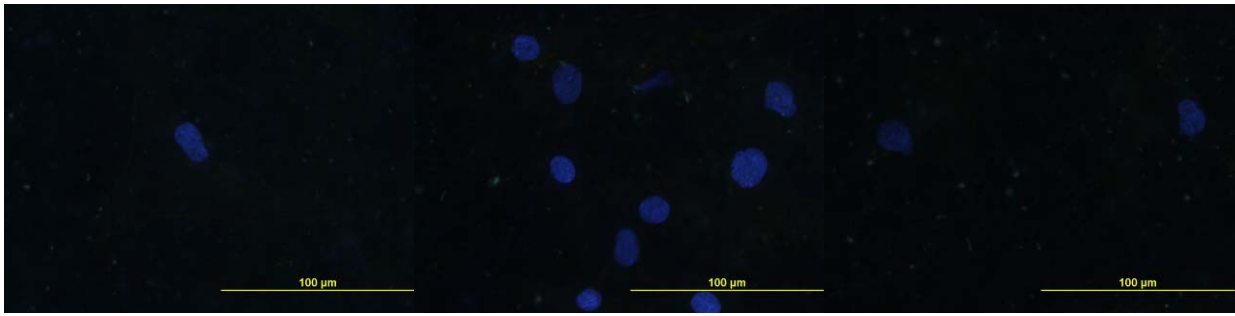


Fig. 41. Images de microscopie en fluorescence après le marquage DAPI, BSA 7 j 40X

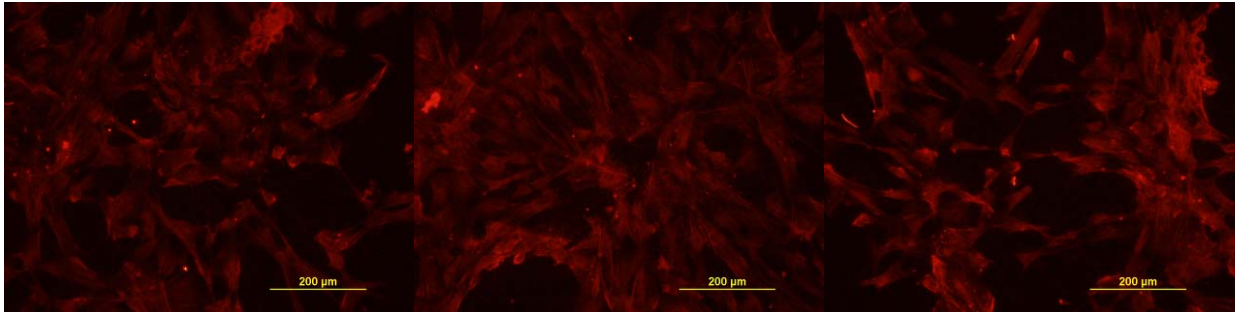


Fig. 42. Images de microscopie en fluorescence après le marquage phalloidine, FN 7 j 10X

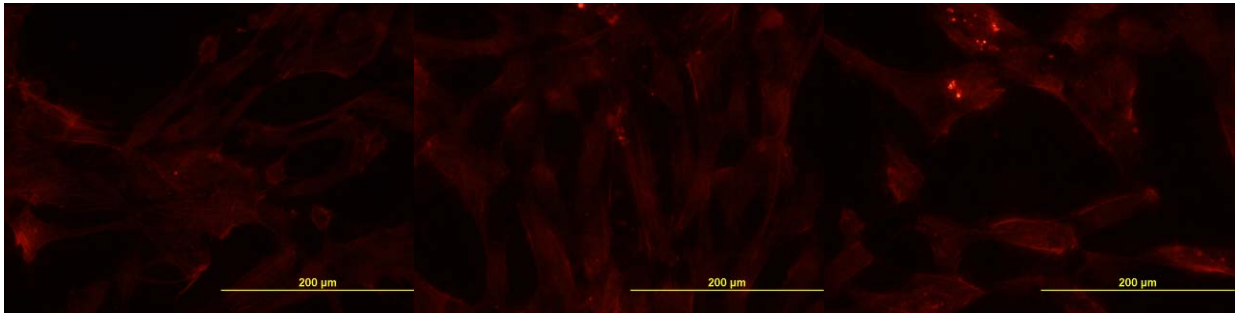


Fig. 43. Images de microscopie en fluorescence après le marquage phalloidine, FN 7 j 20X

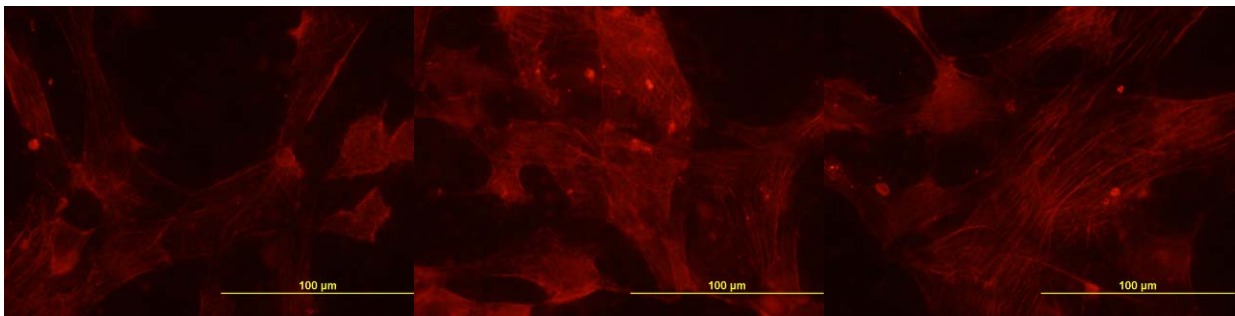


Fig. 44. Images de microscopie en fluorescence après le marquage phalloidine, FN 7 j 40X

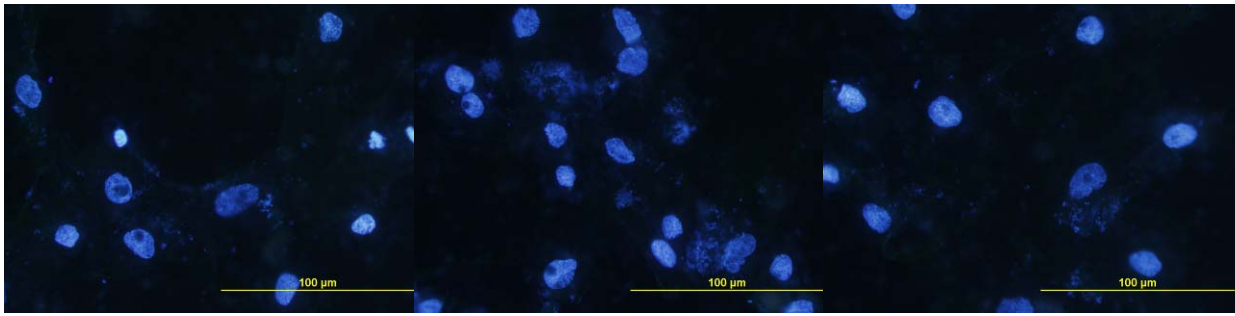


Fig. 45. Images de microscopie en fluorescence après le marquage DAPI, FN 7 j 40X

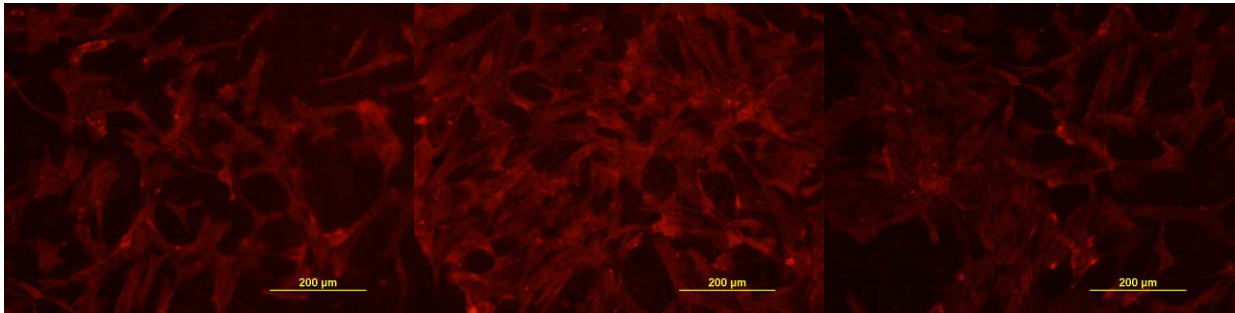


Fig. 46. Images de microscopie en fluorescence après le marquage phalloidine, VN 7 j 10X

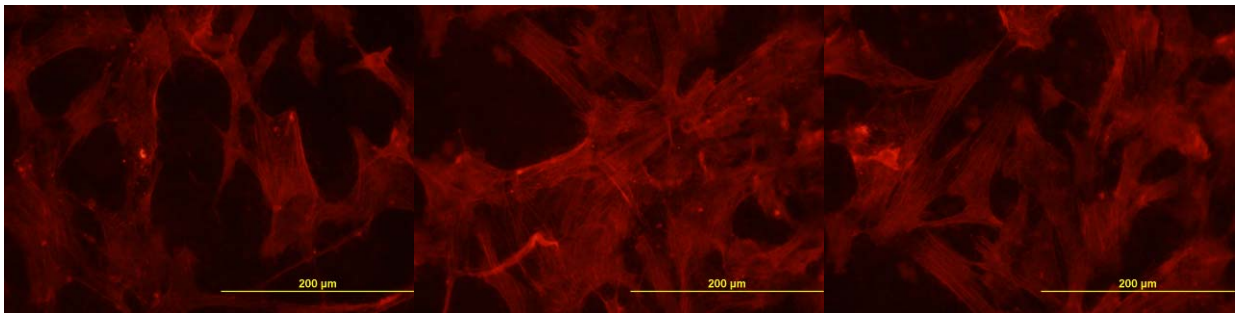


Fig. 47. Images de microscopie en fluorescence après le marquage phalloidine, VN 7 j 20X

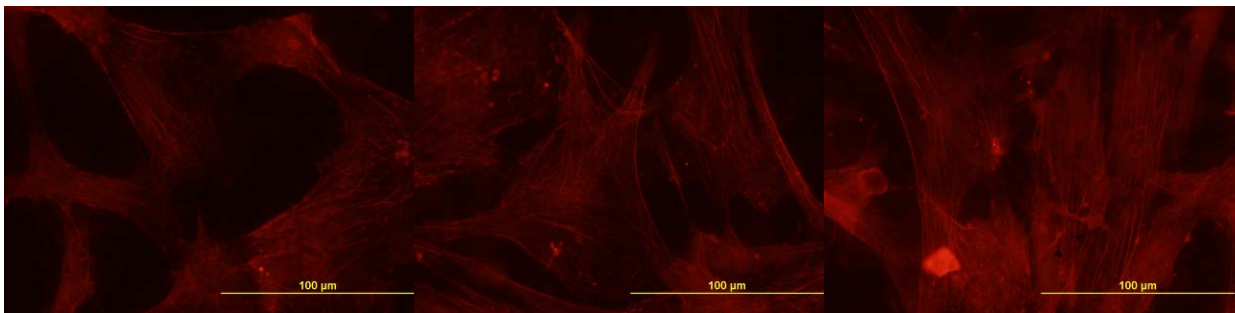


Fig. 48. Images de microscopie en fluorescence après le marquage phalloidine, VN 7 j 40X

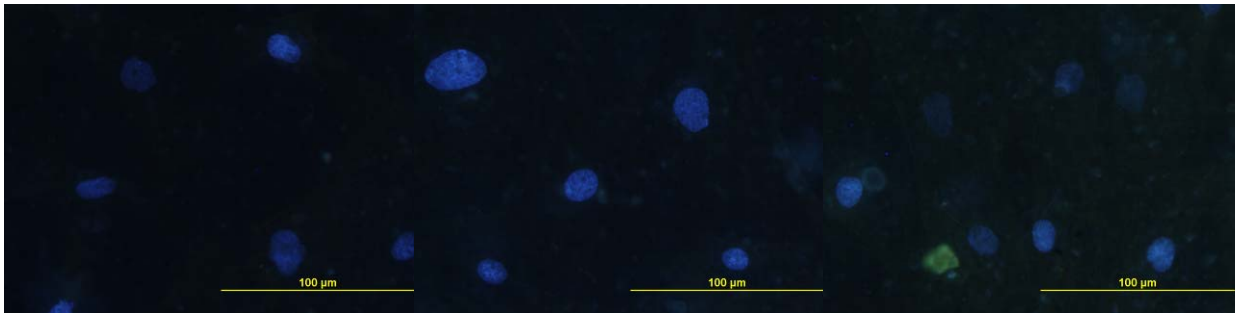


Fig. 49. Images de microscopie en fluorescence après le marquage DAPI, VN 7 j 40X

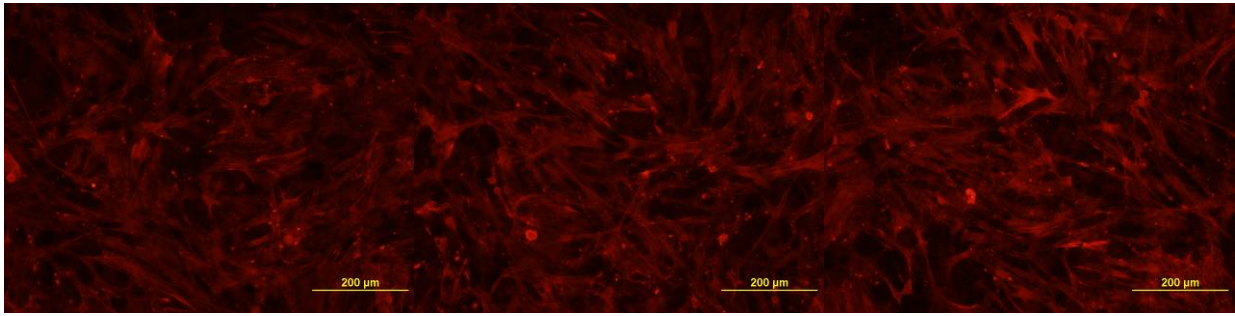


Fig. 50. Images de microscopie en fluorescence après le marquage phalloidine, HA 7 j 10X

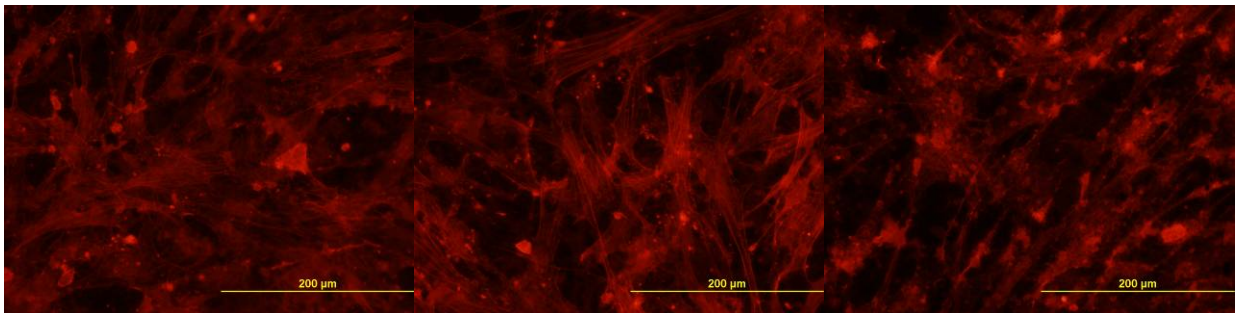


Fig. 51. Images de microscopie en fluorescence après le marquage phalloidine, HA 7 j 20X

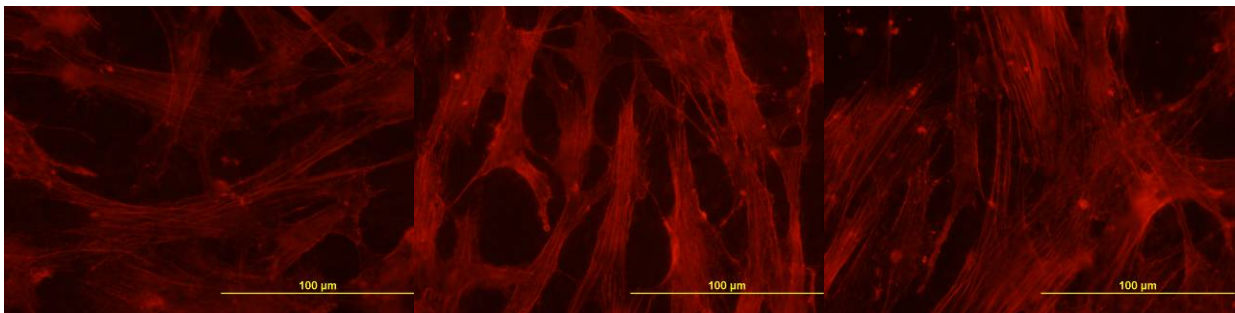


Fig. 52. Images de microscopie en fluorescence après le marquage phalloidine, HA 7 j 40X

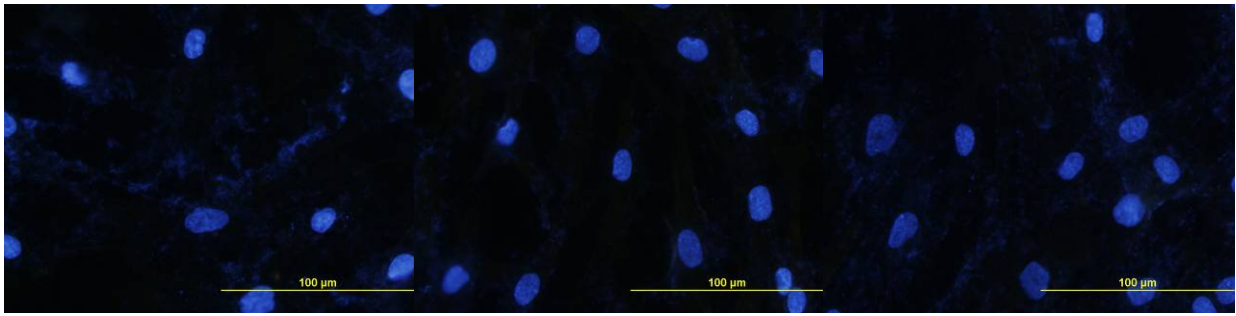


Fig. 53. Images de microscopie en fluorescence après le marquage DAPI, HA 7 j 40X

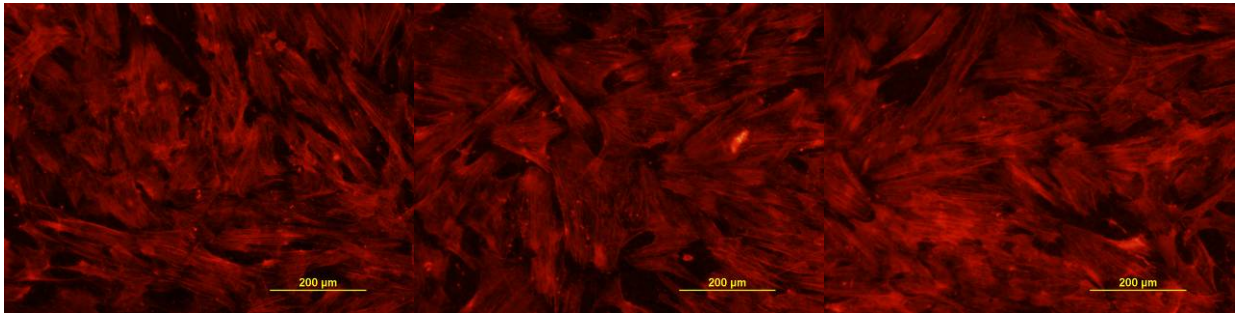


Fig. 54. Images de microscopie en fluorescence après le marquage phalloidine, Ti 7 j 10X

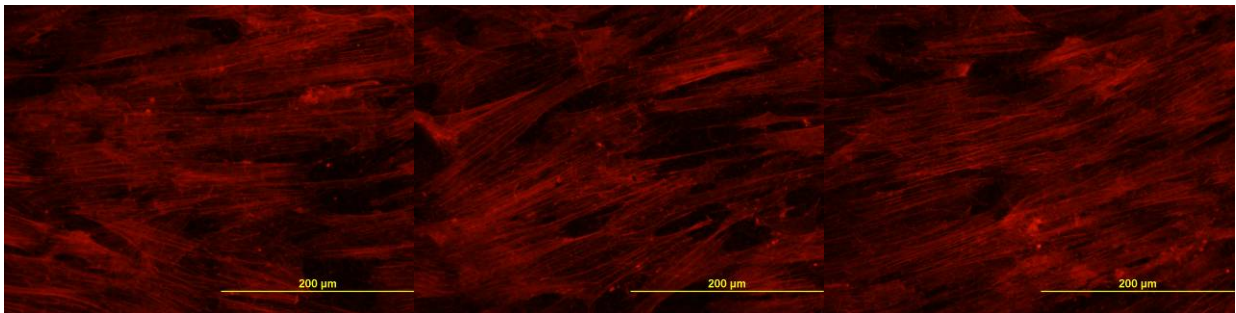


Fig. 55. Images de microscopie en fluorescence après le marquage phalloidine, Ti 7 j 20X

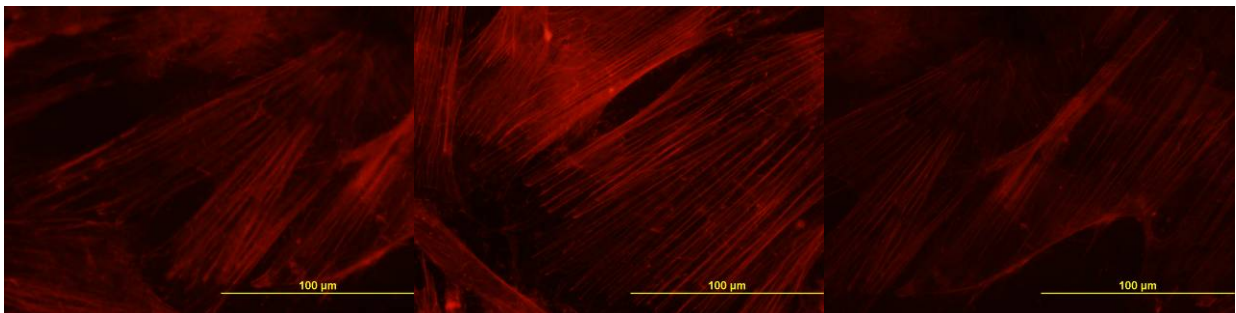


Fig. 56. Images de microscopie en fluorescence après le marquage phalloidine, Ti 7 j 40X

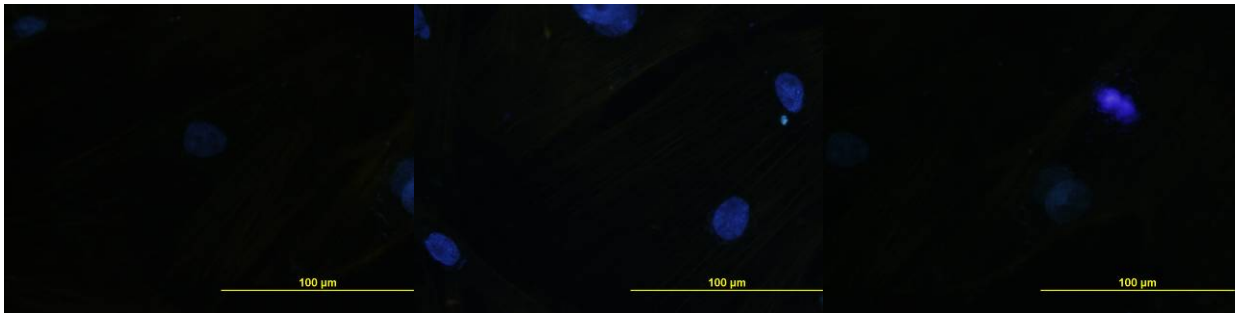


Fig. 57. Images de microscopie en fluorescence après le marquage DAPI, Ti 7 j 40X

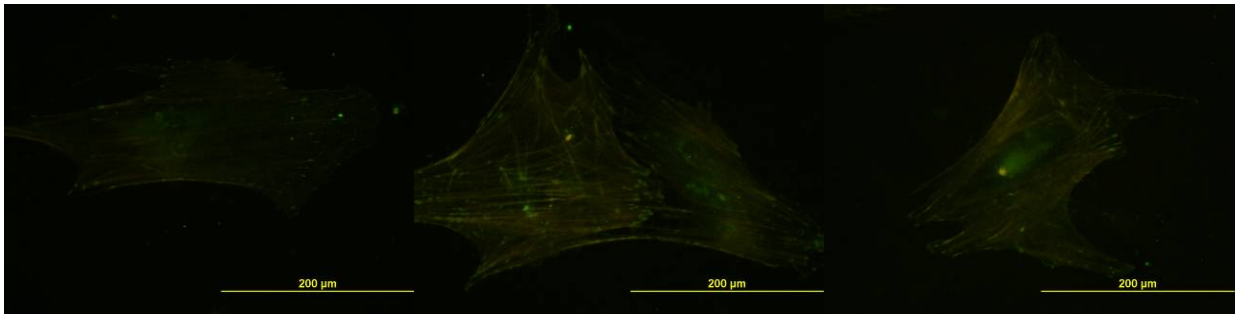


Fig. 58. Images de microscopie en fluorescence après le marquage antivinculine, Ti 3 j 40X

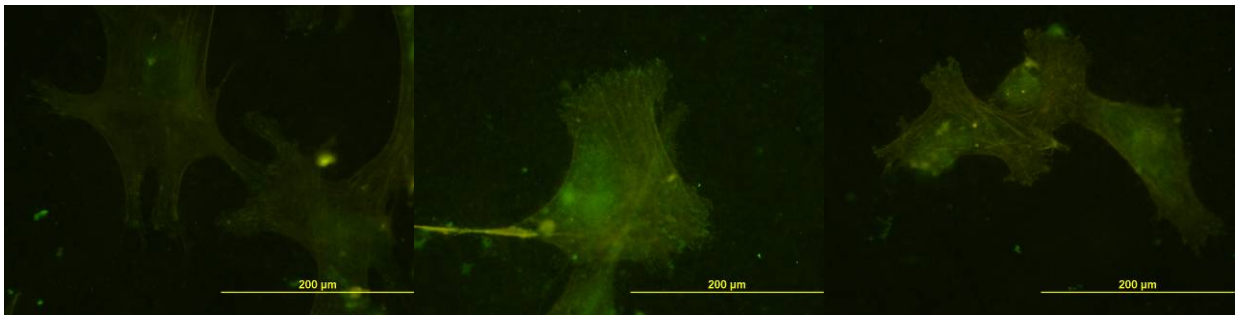


Fig. 59. Images de microscopie en fluorescence après le marquage antivinculine, HA 3 j 40X

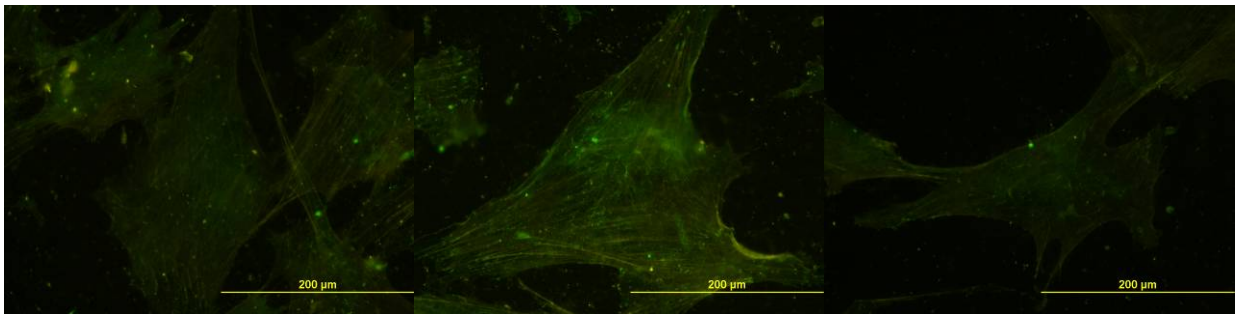


Fig. 60. Images de microscopie en fluorescence après le marquage antivinculine, BSA 3 j 40X

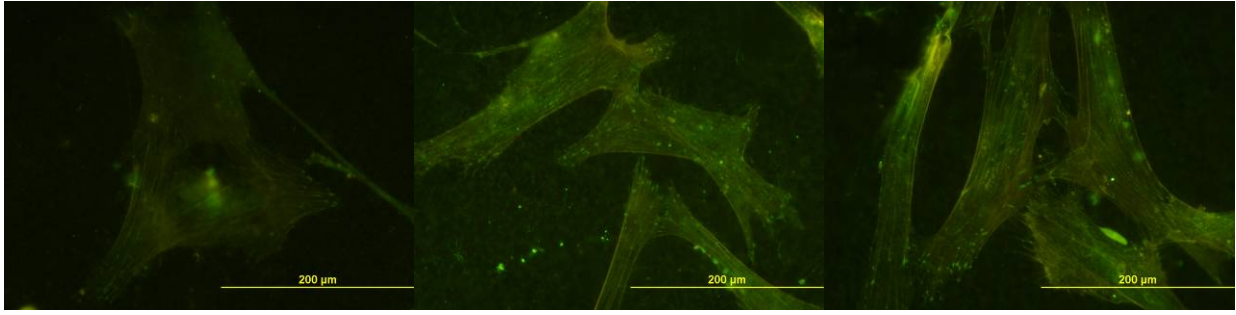


Fig. 61. Images de microscopie en fluorescence après le marquage antivinculine, FN 3 j 40X

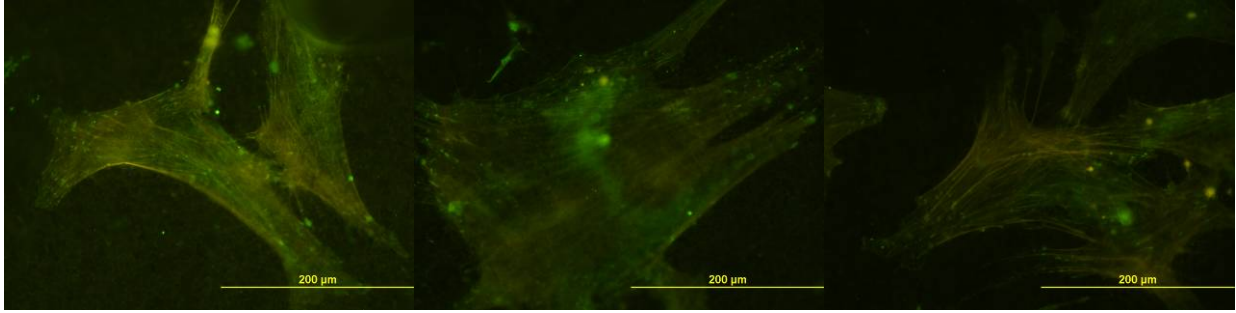


Fig. 62. Images de microscopie en fluorescence après le marquage antivinculine, VN 1 j 40X